

## تأثیر دوزهای مختلف پروژسترون بر پارامترهای حرکتی اسپرم موش پس از بیش فعال شدن

مجید کاتبی. Ph.D.<sup>\*</sup>، منصوره موحدین. Ph.D.<sup>\*\*</sup>، میرعباس عبدالوهابی. M.D.<sup>\*\*\*</sup>، محمد اکبری. Ph.D.<sup>\*\*\*\*</sup>

فرید ابوالحسنی. Ph.D.<sup>\*\*\*</sup>، علیقلی سبحانی. Ph.D.<sup>\*\*\*\*\*</sup>

\* دکترای علوم تشریح دانشگاه علوم پزشکی تهران

\*\* استادیار گروه علوم تشریح دانشگاه تربیت مدرس

\*\*\* استادیار گروه علوم تشریح دانشگاه تهران

\*\*\*\* استاد گروه علوم تشریح دانشگاه تهران

\*\*\*\*\* دانشیار گروه علوم تشریح دانشگاه تهران

تاریخ وصول: فروردین ماه ۸۳، تاریخ پذیرش: خرداد ماه ۸۳

### چکیده

هدف: هدف این پژوهش عبارت است از بررسی الگوی حرکتی و تغییراتی که در پارامترهای حرکتی اسپرم موش پس از بیش فعال شدن با پروژسترون پیش می‌آید.

مواد و روشها: اسپرم از ناحیه دمی اپیدیدیم موش بالغ نژاد ICR به دست آمد و دوزهای مختلف پروژسترون (۱، ۱۰ و ۱۰۰  $\mu\text{g}/\text{ml}$ ) به آن اضافه شد و به مدت ۱۰ و ۹۰ دقیقه انکوباسیون صورت گرفت. سپس از حرکات اسپرمها فیلمبرداری شد. به این منظور برای هر گروه، یک ثانیه از الگوی حرکتی محل تلاقی سر با گردن هر اسپرم آنالیز شده و ۷ پارامتر حرکتی شامل درصد تحرک، (Linearity) LIN (Average Path Velocity) VAP (Straight-line Velocity) VSL (Curvilinear Velocity) VCL Computer assisted image analysis (Straightness) STR ((Curvilinear Progressive ratio) PRC) تجزیه و تحلیل شد. اطلاعات به دست آمده از همه گروهها با آزمون آنوا (ANOVA) و توکی (TUKEY) مورد مقایسه آماری قرار گرفت.

یافته‌ها: میزان درصد تحرک همه گروههای آزمون پس از ۹۰ دقیقه انکوباسیون به صورت معنی‌داری بیش از گروه کنترل بود. پارامترهای حرکتی در گروههایی که پروژسترون با دوز بالا به آنها افزوده شد (۱۰ و ۱۰۰  $\mu\text{g}/\text{ml}$ ) حاکی از فعال شدن در طی همان ۱۰ دقیقه اول انکوباسیون بود اما با دوز پایین ( $1\mu\text{g}/\text{ml}$ ) فعال شدن اسپرم پس از گذشت ۹۰ دقیقه روی داد و از این نظر شبیه گروه کنترل بود. نتایج نشان‌دهنده آن بود که دوز پایین پروژسترون قادر به بیش فعال کردن اسپرم نیست.

نتیجه‌گیری: در مجموع نتایج نشان داد که پروژسترون توانایی بیش فعال کردن اسپرم موش را دارد و افزودن پروژسترون با دوز بالا طی زمان کوتاهی باعث بیش فعالی اسپرم شده و با گذشت زمان کاهش میزان درصد تحرک مشاهده می‌شود.

کلید واژه‌ها: پروژسترون، بیش فعال شدن، اسپرم، موش

### مقدمه

با رها شدن اسپرماتوزرا در سیستم تناسلی موئیت تغییرات

آدرس مکاتبه: تهران، دانشگاه تربیت مدرس، گروه علوم تشریح،  
صندوق پستی ۱۴۱۱۵-۳۳۱ Email:movahedm@hotmail.com

متابولیسمی و ساختاری چندی در آن روی می‌دهد تا اسپرم توانایی باروری تخمک را پیدا کند. به مجموعه این حوادث

فیزیولوژیکی محسوب می شود [۱۰ و ۱۱] تأثیرات پروژسترون از طریق سه مسیر سینگانال دهنده اعمال می شود: (الف) افزایش سریع یون کلسیم داخل سلولی، (ب) جریان یون کلسیم، (ج) تحریک نفوذ لیپازها و فسفریلاسیون پروتئین های اسپرم [۱۱]. این پژوهش با هدف تجزیه و تحلیل الگوی حرکتی اسپرم موش پس از فعال شدن با پروژسترون انجام شد که به این منظور از نرم افزار Computer - assisted image analysis analysis استفاده شد. تغییرات قابل اندازه گیری در پارامترهای حرکتی به عنوان شاخص های تأثیرات پروژسترون مطالعه شد تا مشخص شود که کدام دوز پروژسترون قادر به افزایش شدت و کاهش حرکت پیش رونده در اسپرم موش است.

## مواد و روشها

### آماده سازی اسپرم

موش نر بالغ ICR با سن (۱۲-۱۵ هفته) تهیه و پس از کشته شدن به روش در رفتگی گردن، دم اپیدیدیم آنها خارج شد و در ظرف محتوی سرم فیزیولوژیک قرار گرفت. پس از چند بار شستشو در سرم، لوله های انتهایی توسط یک سوزن ۲۷G در سه تا پنج نقطه سوراخ و با یک پنس فشار ۵ml داده شد تا اسپرم لوله ها وارد پتربی دیش محتوی ۳mg/ml از BSA<sup>۱</sup> محیط کشت شود به محیط کشت  $mWM$  از ۱۰۰U/ml (fatty acid free fraction V, USigma) و ۱۰۰U/ml استرپتوماسین اضافه شده و قبل از استفاده در ۳۷ درجه سانتی گراد گرم شده بود. به منظور خارج شدن اسپرمها از اپیدیدیم، پتربی دیش در انکوباتور ۳۷ درجه سانتی گراد و  $CO_2$  قرار داده شد.

### افزودن پروژسترون به اسپرم

پروژسترون (Sigma) با غلظت ۱mg/ml در الکل مطلق حل شده و سپس توسط محیط کشت، رقت های ۱۰، ۱۰۰ و ۱۰۰۰  $\mu g/ml$  از آن به دست آمده و به اسپرم اضافه و به مدت ۹۰ دقیقه در انکوباتور  $CO_2$  دار کشت داده شد.

ظرفیت پذیری اسپرم گفته می شود و شامل مجموعه اطلاعات عملکردی و بیوشیمیایی است که در سلوهای اسپرم رخ می دهد که در نهایت اسپرم قادر به انجام واکنش آکروزومی و بیش فعالیت (Hyperactivation) می شود. غلظت های پایین یون کلسیم برای ظرفیت پذیری اسپرم موش ضروری است [۱۱].

به نظر می رسد که در مورد اسپرم انسان نیز یون کلسیم برای ظرفیت پذیری ضروری است [۲۰ و ۲۱] و گزارشایی نیز مبنی بر لزوم حضور یون کلسیم برای اکتساب قدرت باروری اسپرم انسان در دست است [۲۴]. حرکت بیش فعال نوعی از حرکت شدید غیر خطی است که اسپرم پستانداران هم زمان با پیشروی در سیستم تناسلی جنس مؤنث از خودشان نشان می دهد (شکل ۱) [۵]. طی فرآیند بیش فعال شدن، الگو و شدت مسیر حرکتی اسپرم به میزان زیادی تغییر می کند که کاملاً دارای مسیر تصادفی است و منجر به حرکت دورانی پیشرونده می شود. این تغییرات در شکل حرکت، شبیه حرکت شلاق (whiplash) یا شکل ۸ لاتین (۸) است (شکل ۱). بیش فعال شدن برای عبور از لوله رحمی و نفوذ در قشر شفاف (زوناپلوسیدا) ضروری است [۷، ۶ و ۸]. واکنش آکروزومی اسپرم که با خارج شدن وزیکل های آکروزومی از اسپرم مشخص می شود، برای اتصال ما بین اسپرم با غشای تخمک هنگام باروری، ضرری است. قشر شفاف در پستانداران به صورت یک آغازگر فیزیولوژیکی برای واکنش آکروزومی هنگام لقاح محسوب شده و ZP3 که یکی از عمده ترین گلیکوپروتئین های قشر شفاف است می تواند در محیط کشت، واکنش آکروزومی را با ماهیت وابسته به گونه تحریک نماید [۹ و ۵] به نظر می رسد که محیط کشت اسپرم دارای نقش مهمی در بسیاری از فعالیتهای آن است. انجام واکنش آکروزومی نیاز به افزایش غلظت یون کلسیم داخل سلولی دارد [۵] و با تماس اسپرماتوزوآ با زوناپلاسیدای تخمک شروع شده و در ادامه چسبندگی غشای خارجی آکروزرم با غشای تخمک پیش آمده و در نهایت آنزیمهای آکروزومی آزاد می شود تا به اسپرم برای نفوذ به داخل تخمک کمک کند. از میان مواد مختلفی که به واکنش آکروزومی کمک می کنند، می توان از پروژسترون نام برد که یک تحریک کننده

نقطه مجاور حرکت است.

۳ - VAP (Average Path Velocity) که شامل یک خط مستقیم از میانگین فاصله پنج نقطه طی شده است (شکل ۲). ۴ - LIN (Linearity) که عبارت از شاخصی برای مستقیم کردن مسیر حرکتی است. برای به دست آوردن LIN نسبت VSL/VCL برابر ۱۰۰ تقسیم می‌شود.

۵ - STR (Straightness) که شاخص خروج اسپرم از خط مستقیم است و برای به دست آوردن آن نسبت VSL/VAP در ضرب می‌شود [۱۲].

۶ - PRC (Curvilinear Progressive ratio) که شاخص عکس جایه‌جایی طرفی سر اسپرم است و از حاصل ضرب نسبت VAP/VCL در عدد ۱۰۰ به دست می‌آید [۱۳].

به منظور به دست آوردن درصد تحرک از فیلم به دست آمده از حرکت اسپرمهای استفاده شد. به این ترتیب که تعداد کل اسپرم در یک میدان ثابت از فیلم شمارش و سپس با شروع فیلم، اسپرمهایی که در جایگاه خود باقی ماندند به عنوان غیر متحرک یا غیر پیش‌روندۀ شمارش شدند.

اطلاعات به دست آمده توسط آنالیز واریانس و آزمون پست هاک (Post hoc) (TUKEY) مورد تجزیه و تحلیل آماری قرار گرفت.

## یافته‌ها

تغییرات حاصل در درصد تحرک و الگوی حرکتی اسپرم پس از افزودن پروژسترون با دوزهای مختلف و انکوباسیون به مدت ۹۰ و ۱۵ دقیقه مورد مطالعه قرار گرفت. از نظر میزان درصد تحرک، تفاوت معنی داری بین گروه کنترل و گروههای آزمون پس از ۱۵ دقیقه انکوباسیون مشاهده نشد اما پس از ۹۰ دقیقه انکوباسیون تفاوت معنی دار وجود داشت ( $p < 0.05$ ). میزان درصد تحرک در گروههای آزمون پس از ۹۰ دقیقه نگهداری در انکوباتور کاهش معنی داری داشت ( $p < 0.05$ ) (شکل ۳-a)، در گروههای آزمون ۲ و ۳ بعد از گذشت ۱۵ دقیقه انکوباسیون الگوی حرکتی تغییر کرده و میزان جایه‌جایی طرفی زیاد شده و اسپرمهای بیشتر مسیر دورانی را دنبال می‌کردند. همین وضعیت در گروههای کنترل و آزمون یک پس از گذشت ۹۰

## آماده ساختن نمونه‌ها

۱۴ میکرولیتر از سوسپانسیون اسپرم برای آنالیز الگوی حرکتی آن پس از ۹۰ و ۱۵ دقیقه انکوباسیون استفاده شد. به این منظور توسط محیط کشت غلظت نهایی حدود  $2 \times 10^6 / ml$  به دست آمد و سوسپانسیون حاصل روی یک لام شیشه‌ای که قبل از ۳۷ درجه سانتی‌گراد گرم شده بود، قرار گرفت و روی آن بالا پوشیده شد.

روی هر لام با  $5 \mu PVP / 0$  درصد پوشیده شده بود تا چسبیدن اسپرم به سطح شیشه به حداقل ممکن برسد. به محض اینکه نمونه آماده شد، عکسبردارن برای آنالیز انجام شد.

## طراحی آزمایش

گروههای مورد آزمایش به شرح زیر بودند:

- ۱ - کنترل (بدون پروژسترون)
  - ۲ - آزمون یک با غلظت  $1 \mu g/ml$  از پروژسترون
  - ۳ - آزمون دو با غلظت  $10 \mu g/ml$  از پروژسترون
  - ۴ - آزمون سه با غلظت  $100 \mu g/ml$  از پروژسترون
- کلیه گروهها پس از گذشت ۹۰ و ۱۵ دقیقه انکوباسیون مورد مطالعه قرار می‌گیرند.

## تجزیه و تحلیل الگوی حرکتی اسپرم

به منظور تجزیه و تحلیل الگوی حرکتی اسپرم، تصاویر با سرعت ۳۰ فریم در ثانیه توسط دوربین (PHOTRON, Tokyo) گرفته شد و توسط موی رولر (FASTCAM-Net high-Speed) (PHOTRON, Tokyo) (Movie Ruler) آنالیز از ۳۰ فریم مناسب استفاده شد. زمان نوردهی ۱/۲۰۰ ثانیه بوده و دوربین روی میکروسکوپ فاز کتراست (Olympus Optical Co, Tokyo, Japan) سوار شده بود. اسپرمهای غیر متحرک یا آنهایی که دارای حرکت پیشرونده نبودند از مطالعه حذف شدند. پارامترهای حرکت اسپرم که در این پژوهش مورد مطالعه قرار گرفتند به شرح زیر بودند:

- ۱ - VSI (Straight-line Velocity) که عبارت از فاصله طی شده میان نقطه ابتدایی و انتهایی حرکت است.
- ۲ - VCI (Curvilinear Velocity) که عبارت از فاصله مابین دو

بیش فعال شدن نیز ارتباط تنگاتنگ با ظرفیت پذیری دارد [۱۴]. اسپرم پستانداران دارای ویژگیهای خاصی در الگوی حرکتی است که با تکمیل ظرفیت پذیری همراه است. حرکت شلاقی یا بیش فعال شده اسپرم با ضربات شدید دم آن مشخص می‌شود [۱۵].

بیش فعال شدن هم برای عبور از لوله رحمی و هم نفوذ در قشر شفاف ضروری است [۱۶].

اگر چه مکانیسمهای مولکولی که در ظرفیت پذیری اسپرم دخیل هستند، هنوز به طور کامل شناخته نشده است، اما ثابت شده که افزایش فسفوریلاسیون پروتئین تیناز لازمه این پروسه است. ظرفیت پذیری در موش وابسته به یون کلسیم است [۱۷] و فسفوریلاسیون پروتئین تیناز هم یک واقعه داخل سلولی است که تنظیم عملکرد اسپرم را بر عهده داشته و شاخص مهمی برای ظرفیت پذیری محسوب می‌شود [۱۸ و ۱۹]. طی پروسه ظرفیت پذیری اسپرم موش به دست آمده از دم اپیدیدیم در محیط کشت، افزایش فسفوریلاسیون پروتئین تیناز در طول زمان حاصل می‌شد [۱۸]. مطالعات زیادی در زمینه بیش فعالی اسپرم صورت گرفته است [۲۰، ۲۱ و ۲۲] آثار پروژسترون بر یون کلسیم اسپرم ابتدا به صورت افزایش فوری یون پس از افزودن استروئید فوق به اسپرم (طی تنها چند ثانیه) روی داده و سپس به مرحله ثبات (فاز پلاتو) می‌رسد که ممکن است چند دقیقه طول بکشد [۲۳ و ۲۴]. علاوه بر افزایش یون کلسیم، پروژسترون جریان کلر و سدیم را هم تحریک می‌کند [۲۴ و ۲۵].

اسپرم موش در پاسخ به پروژسترون یک افزایش موقتی یون کلسیم (۱ تا ۱/۵ دقیقه) یا افزایش طولانی مدت به مدت چندین دقیقه را از خود نشان می‌دهد [۲۶]. البته باید در نظر داشت که غلظت پروژسترون در مایع فولیکولی حداقل پنج برابر بیشتر از پروژسترون آزاد است زیرا گلوبولین باند شده به کورتیکواستروئید که در مایع فولیکولی موجود است می‌تواند باعث افزایش فعالیت تحریک کننده و اکنش آکروزومی پروژسترون شود [۲۸].

سه دوز مورد استفاده در پژوهش حاضر به اشکال مختلفی باعث بیش فعالی اسپرم شدند.

دقیقه انکوباسیون مشاهده شد.

پارامترهای مورد اندازه‌گیری VSL، LIN، VAP، PRC و VCL در طول زمان در کلیه گروهها تغییراتی از خود نشان داد که این افزایش در گروههای کنترل و آزمون یک پس از ۹۰ دقیقه انکوباسیون اتفاق افتاد که نتایج نشان دهنده آن بود که بیش فعال شدن در گروههای آزمون دو و سه در همان ۱۰ دقیقه انکوباسیون روی داده و پس از آن کاهش پیدا کرد، اما در گروههای کنترل و آزمون ۱، بیش فعال شدن با تأخیر پس از ۹۰ دقیقه انکوباسیون مشاهده شد (شکل ۳-۶). همان طور که انتظار می‌رفت، شاخص VSL که عبارت از فاصله بین اولین و آخرین نقطه حرکتی است، در همه گروهها پس از ۹۰ دقیقه کاهش نشان داد، اما این پارامتر در گروه آزمون یک افزایش داشت ولی معنی دار نبود (شکل ۳-۵). VAP که عبارت از میانگین مسیر مستقیم مابین پنج نقطه در الگوی حرکتی بود هم در گروه آزمون یک پس از ۹۰ دقیقه انکوباسیون افزایش نشان داد و این میزان با گروههای آزمون دو و سه در همین زمان دارای تفاوت معنی دار بود (شکل ۳-۴).

LIN به عنوان شاخص مستقیم بودن مسیر در گروه کنترل و آزمون یک با افزایش زمان انکوباسیون کاهش یافت که نمایانگر وابسته به زمان بودن افزایش جایه‌جایی طرفی سر یا کاهش شعاع حرکت دورانی است.

در گروههای آزمون دو و سه بیش فعالی در طی همان ده دقیقه اول انکوباسیون رخ داد بنابراین این شاخص با افزایش زمان انکوباسیون (۹۰ دقیقه) افزایش پیدا کرد (شکل ۳-۵). PRC که شاخص عکس جایه‌جایی طرفی سر اسپرم است در گروههای آزمون دو و سه با افزایش زمان انکوباسیون، افزایش یافت (شکل ۳-۶). STR که شاخص خروج اسپرم از خط مستقیم است در گروه آزمون ۳ پس از گذشت ۱۰ دقیقه انکوباسیون، افزایش یافت و از این نظر با گروه شاهد تفاوت معنی داری داشت.

## بحث

یافته‌های این پژوهش نشان داد که افزودن پروژسترون به محیط کشت اسپرم موش باعث بیش فعال شدن آن می‌شود.

تفاوت مشاهده شده ما بین نتایج حاصل از پژوهش حاضر و تحقیق کوباری (Kobori) و همکارانش [۲۷] می‌تواند به دلیل برگشت وضعیت بیش فعالی اسپرم موش باشد [۳۲] و ممکن است الگوی بیش فعالی مجدداً پس از گذشت زمان طولانی‌تری ظاهر شود. با روش‌های استانداردی نظیر آنچه در این تحقیق ارایه شد، می‌توان به توصیف دقیق از روند بیش فعالی در اسپرم پرداخت. خوکوت (Khokute) و همکارانش [۲۹] نشان دادند که پروژسترون دارای اثر مستقیم بر باروری و واکنش آکروزومی اسپرم موش داشته است. کاتایاما (Katayama) و همکارانش [۴۱] نیز در مطالعه خود به این نتیجه رسیدند که افزودن پروژسترون به محیط کشت اسپرم گزار باعث افزایش واکنش آکروزومی می‌شود. بدون آنکه به قابلیت‌های دیگر آن از جمله فعال کردن تخمک و یا قابلیت باروری آن پس از ICSI آسیبی برساند.

در مجموع نتایج حاصل نشان‌دهنده آن بود که افزودن پروژسترون با دوز بالا به محیط کشت اسپرم باعث بیش فعالی در زمان کوتاهی پس از تجویز می‌شود و مطالعه پارامترهای الگوی حرکتی می‌تواند به صورت دقیق بیش فعالی را نشان دهد. اما در عین حال ضروری است که ارتباط ما بین الگوی بیش فعالی اسپرم پس از افزودن پروژسترون به آن و خاصیت باروری اسپرم با انجام ICSI، IVF مورد ارزیابی قرار گیرد تا بتوان قضاوت درستی در مورد الگوی بیش فعالی به عنوان یک مدل مناسب برای انجام اسپرم با کیفیت بالا داشت.

همانند محققین دیگر [۲۹] استفاده از دوز بالا باعث شد که بیش فعالی بلافاصله پس از افزودن پروژسترون به اسپرم حاصل شود. اگر چه کوباری (Kobori) و همکارانش [۲۷] به این نتیجه رسیدند که برای حصول بیش فعالی در طول زمان نیاز به دوز بالای پروژسترون است و اگر زمان انکوباسیون بین ۲ تا ۴ ساعت باشد، پاسخ بیش فعالی در زمان طولانی‌تری اتفاق می‌افتد. نتایج پژوهش حاضر دلالت بر آن دارد که با افزایش زمان انکوباسیون، اسپرم الگوی بیش فعال شدن خود را از دست می‌دهد که با اندازه‌گیری پارامترهای حرکتی شد [۳۰]. علت (Kobori) می‌تواند تفاوت نوع مطالعه حاضر با مطالعه کوباری و همکارانش [۲۷] باشد زیرا ایشان به مطالعه ویژگیهای یون کلسیم داخل سلول پرداختند در حالی که در مطالعه حاضر به بررسی پارامترهای حرکتی پرداخته شد. آگاروال (Agarwal) و همکارانش [۳۱] به این نتیجه رسیدند که پارامترهایی مانند ALH، VAP، VSL، VCL شاخص‌های کیفی اسپرم و مایع منی هستند و بررسی آنها می‌تواند اطلاعات ارزشمندی در مورد کیفیت مایع منی در کلینیک ارائه کند.

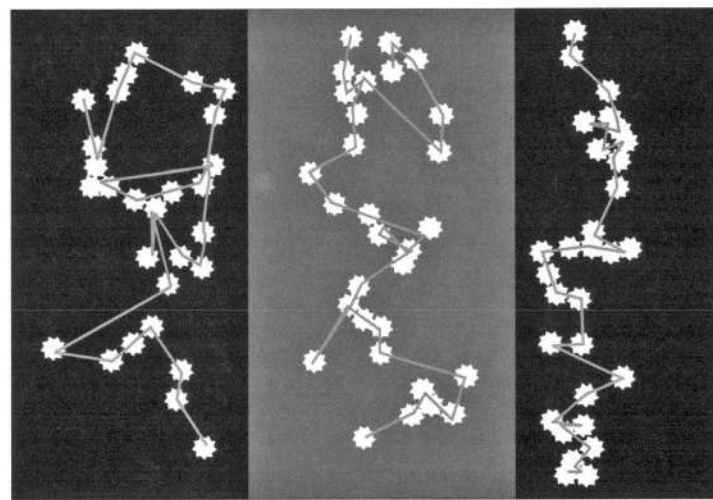
سوارز (Suarez) [۳۲] الگوی بیش فعال شدن را به صورت زیر توصیف کرد: انتقال حرکت از مدل پیش روندۀ به مدل شلاقی به این صورت که مسیر حرکتی اسپرم حالت دورانی پیدا می‌کند و این دایره‌ها مرتباً کوچک‌تر می‌شود. در همین زمان شدت حرکت هم افزایش پیدا می‌کند. احتمال انتقال الگوی حرکتی ما بین وضعیت موقتی و حرکت شلاقی هم وجود دارد.

## References

- Fraser LR.** Minimum and maximum extracellular  $\text{Ca}^{2+}$  requirements during mouse sperm capacitation and fertilization in vitro. *J Reprod Fertil* 1987; 81: 77-89.
- Stock CE, Fraser LR.** Divalent cations, capacitation and the acrosome reaction in human spermatozoa. *J Reprod Fertil* 1989; 87: 463-47.
- Dasgupta S, Mills CL, Fraser LR.**  $\text{Ca}^{2+}$ -Related changes in the capacitation state of human spermatozoa assessed by a chlortetracycline fluorescence assay. *J Reprod Fertil* 1993; 99: 135-43.
- Mortimer D, Chorney MJ, Curtis EF, Trounson AO.** Calcium dependence of human sperm fertilizing ability. *J Exp Zool* 1988; 246: 194-201.
- Yanagimachi R.** Mammalian fertilization. In: Knobil E, Neill JD(eds.), *Physiology of Reproduction*. New York, Raven Press, 1994, pp. 189-317.
- Katz DF, Yanagimachi R.** Movement characteristics of hamster and guinea pig spermatozoa upon attachment to the zona pellucida. *Biol Reprod* 1981; 25: 789-91.
- Suarez SS, Katz DF, Owen DH.** Evidence for the function of hyperactivated motility in sperm. *Biol Reprod* 1991; 44: 375-81.
- Pacey AA, Davies N, Warren MA.** Hyperactivation may assist human spermatozoa to detach from intimate association with the endosalpinx. *Hum Reprod* 1995; 10: 2603-9.

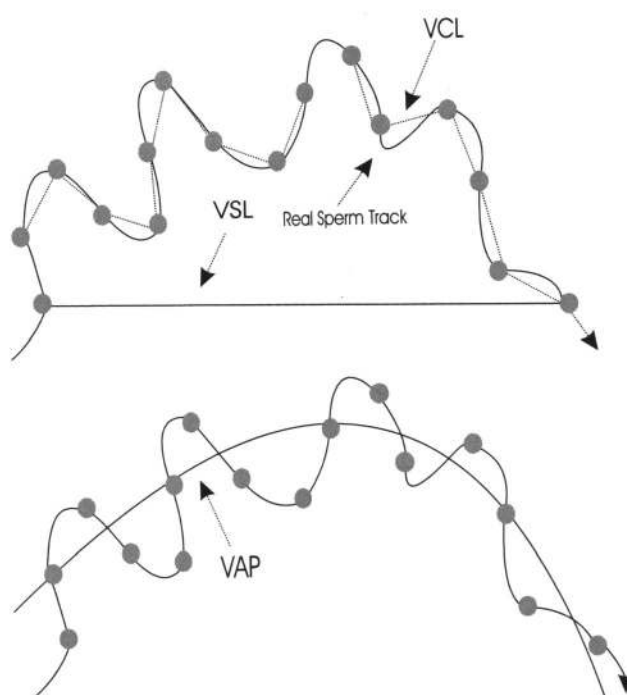
9. Wassarman PM. Profile of mammalian sperm receptor. *Development* 1990; 108: 1-17.
10. Baldi E, Krausz C, Forti G. Nongenomic actions of progesterone on human spermatozoa. *Trends Endocrinol Metab* 1995; 6: 198-205.
11. Aitken RJ. The extragenomic action of progesterone on human spermatozoa. *Hum Reprod* 1997; 12: 38-42.
12. Cancel MA, Lobdell D, Mendola P, Perreault DS. Objective evaluation of hyperactivated motility in rat spermatozoa using computer assisted sperm analysis. *Hum Reprod* 2000; 15: 1322-8.
13. Neill JM, Olds-Clarke P. A computer-assisted assay for mouse sperm hyperactivation demonstrates that bicarbonate but not bovine serum albumin is required. *Gamet Res* 1987; 18(2): 121-40.
14. Mahony MC, Gwathmey T. Protein Tyrosine Phosphorylation during Hyperactivated Motility of Cynomolgus Monkey (*Macaca fascicularis*) Spermatozoa. *Biol Reprod* 1999; 60: 1239-43.
15. Yanagimachi R. In vitro capacitation of hamster spermatozoa by follicular fluid. *J Reprod Fertil* 1969; 18: 275-86.
16. Katz DF, Yanagimachi R. Movement characteristics of hamster and guinea pig spermatozoa upon attachment to the zona pellucida. *Biol Reprod* 1981; 25: 789-91.
17. Senuma M, Yamano S, Nakagawa K, Irahara M, Kamada M, Aono T. Progesterone accelerates the onset of capacitation in mouse sperm via T-type calcium channels. *Arch Androl* 2001; 47(2): 127-34.
18. Visconti PE, Bailey JL, Moore GD, Pan D, Olds-Clarke P, Kopf GS. Capacitation of mouse spermatozoa: 1. Correlation between the capacitation state and protein tyrosine phosphorylation. *Development* 1995; 121: 1129-37.
19. Aitken RJ, Paterson M, Fisher H, Buckingham DW, Van Duin M. Redox regulation of tyrosine phosphorylation in human spermatozoa and its role in the control of human sperm function. *J Cell Sci* 1995; 108: 2017-25.
20. Huo LJ, Yang ZM. Effects of platelet activating factor on capacitation and acrosome reaction in mouse spermatozoa. *Mol Reprod Dev* 2000; 56(3): 436-410.
21. Kinukawa M, Nagata M, Aoki A. Changes in flagellar bending during the course of hyperactivation in hamster spermatozoa. *Reproduction* 2003; 125: 43-51.
22. Thomas P, Meizel S. Phosphatidylinositol 4,5-bisphosphate hydrolysis in human sperm stimulated with follicular fluid or progesterone is dependent upon  $\text{Ca}^{2+}$  influx. *Biochem J* 1989; 264: 539-46.
23. Baldi E, Casano R, Falsetti C, Krausz C, Maggi M, Forti G. Intracellular calcium accumulation and responsiveness to progesterone in capacitating human spermatozoa. *J Androl* 1991; 12: 323-30.
24. Turner KO, Meizel S. Progesterone-mediated efflux of cytosolic chloride during the human sperm acrosome reaction. *Biochem Biophys Res Commun* 1995; 213: 774-80.
25. Meizel S, Turner KO. Chloride efflux during the progesterone-initiated human sperm acrosome reaction is inhibited by lavendustin A, a tyrosine kinase inhibitor. *J Androl* 1996; 27: 327-30.
26. Foresta C, Rossato M, Di Virgilio F. Ion fluxes through the progesterone-activated channel of the sperm plasma membrane. *Biochem J* 1993; 294: 279-83.
27. Kobori H, Miyazaki S, Kuwabarab Y. Characterization of Intracellular  $\text{Ca}^{2+}$  Increase in Response to Progesterone and Cyclic Nucleotides in Mouse Spermatozoa. *Biology of Reproduction* 2000; 63: 113-20.
28. Miska W, Fehl P, Henkel R. Biochemical and immunochemical characterization of the acrosome reaction-inducing substance of HFF. *Biochem Biophys Res Commun* 1994; 199: 125-29.
29. Kholkute SD, Rodriguez J, Dukelow WR. In vitro fertilization and the effect of progesterone and 17-hydroxyprogesterone on acrosome reaction of mouse epididymal spermatozoa. *Int And* 1995; 18: 146-50.
30. Naser A, Mahony M. Blackmore Progesterone Increase of intracellular calcium is not a cause of pentoxifylline-induced hyperactivated motility or acrosome reaction in human sperm. *Fertil Steril* 1998; 69(4): 748-54.
31. Agarwal A, Sharma RK, Nelson DR. New semen quality scores developed by principal component analysis of semen characteristics. *J Androl* 2003; 24(3): 343-52.
32. Suarez SS. Hyperactivated motility in sperm. *J Androl* 1996; 17: 331-5.
33. Wang C, Lee GS, Leung A, et al. Human sperm hyperactivation and acrosome reaction and their

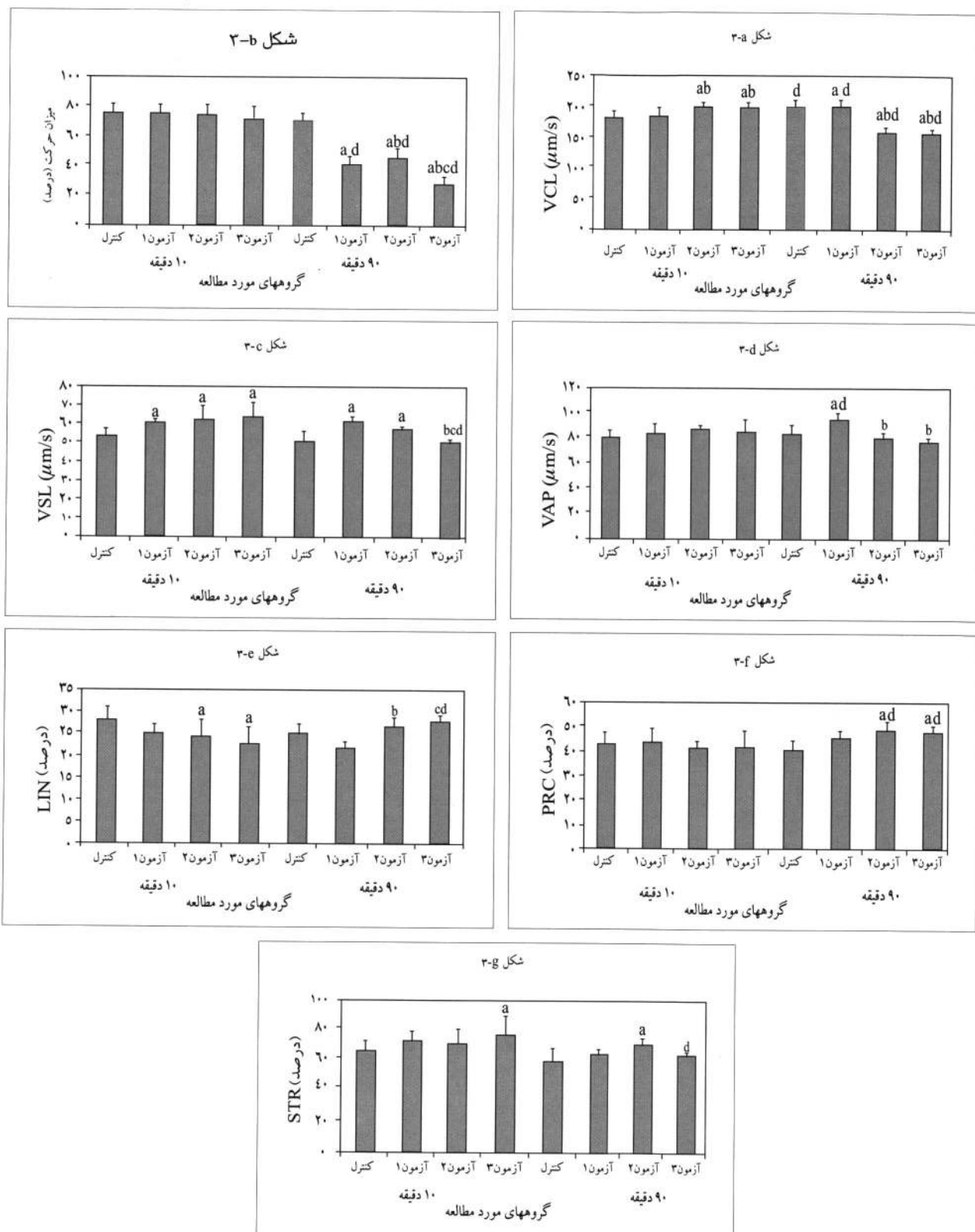
- relationships to human in vitro fertilization. *Fertil Steril* 1993; 59: 1221-7.
34. **Johnston RC, Mbizvo MT, Summerbell D.** Relationships between stimulated hyperactivated motility of human spermatozoa and pregnancy rate in donor insemination: a preliminary report. *Hum Reprod* 1994; 9: 1684-7.
35. **Tesarik J, Mendoza C.** Defective function of a nongenomic progesterone receptor as a sole sperm anomaly in infertile patients. *Fertil Steril* 1992; 58: 793-7.
36. **Oehninger S, Blackmore PF, Morshedi M, Sueldo C, Acosta A, Alexander NJ.** Defective calcium influx and acrosome reaction (spontaneous and progesterone-induced) in spermatozoa of infertile men with severe teratozoospermias. *Fertil Steril* 1994; 61: 349-54.
37. **Mortimer ST.** A critical review of the physiological importance and analysis of sperm movement in mammals. *Hum Reprod Updata* 1997; 3: 403-39.
38. **Osman RA, Andria ML, Jones AD, Meizel S.** Steroid induced exocytosis: the human sperm acrosome reaction. *Biochem Biophys Res Commun* 1989; 160: 828-33.
39. **Thomas P, Meizel S.** Phosphatidylinositol 4,5-bisphosphate hydrolysis in human sperm stimulated with follicular fluid or progesterone is dependent upon  $\text{Ca}^{2+}$  influx. *Biochem J* 1989; 264: 539-46.
40. **Morales P, Llanos L, Gutierrez G, Kohen P, Vigil P, Vantman D.** The acrosome reaction-inducing activity of individual hFF samples is highly variable and is related to steroid content. *Hum Reprod* 1992; 7:646-51.
41. **Katayama M, Miyano T, Miyake M, Kato S.** Progesterone treatment of boar spermatozoa improves male pronuclear formation after intracytoplasmic sperm injection into porcine oocytes. *Zygote* 2002; 10: 95-104.



◀ شکل ۱. الگوی حرکتی اسپرم موش طی ظرفیت‌پذیری. در طرف چپ اسپرم ظرفیت‌پذیری نشده و در وسط، اسپرم حد میانی و در طرف راست اسپرم بیش فعال شده دیده می‌شود.

◀ شکل ۲. وضعیت مسیر حرکتی اسپرم و پارامترهای وابسته. VCL: عبارت است از فاصله طی شده ما بین دو نقطه مجاور. VSL: فاصله طی شده ما بین نقطه ابتدایی و انتهایی حرکت. VAP: خط مستقیم از میانگین فاصله پنج نقطه





شکل ۲. مقایسه پارامترهای حرکتی پس از تجویز پروژسترون با دوزهای  $10\text{ }\mu\text{g}/\text{ml}$ : کنترل، آزمون یک و  $100\text{ }\mu\text{g}/\text{ml}$ : آزمون دو و آزمون سه طی زمانهای ۱۰ و ۹۰ دقیقه.  
 a: میزان حرکت، b: VCL:  $\text{cm}/\text{s}$ , c: VSL:  $\text{cm}/\text{s}$ , d: VAP:  $\text{cm}/\text{s}$ , e: LIN:  $\text{e}^{-3}$ , f: PRC:  $\text{f}^{-3}$ , g: STR:  $\text{g}^{-3}$ .  
 آزمون سه طی زمانهای ۱۰ و ۹۰ دقیقه. a: تفاوت معنی دار با گروه کنترل، b: تفاوت معنی دار با گروه آزمون یک، c: تفاوت معنی دار با گروه آزمون دو، d: تفاوت معنی دار با گروه مشابه طی زمان ۱۰ دقیقه.

